



اثرجانشانی سریوم بر ویژگی‌های ساختاری و مغناطیسی نانوذرات گارنت ایتریوم آهن

تهییه شده به روش سل-ژل

محمد نیایی‌فر^{*}، نرگس خلفی، احمد حسن‌پور

دانشگاه آزاد اسلامی، واحد علوم و تحقیقات خوزستان، گروه فیزیک

(دریافت مقاله: ۹۰/۸/۲۱، نسخه نهایی: ۹۰/۱۲/۲۵)

چکیده: در این پژوهش، نانوذرات گارنت ایتریوم آهن با جانشانی سریوم با فرمول $\text{Ce}_x\text{Fe}_5\text{O}_{12}$ (۰/۳ $\leq x \leq$ ۰/۷) به روش سل-ژل تهییه شد، و سپس اثر جانشانی سریوم بر ساختار بلوری نانوذرات با پراش‌سنجد پرتو ایکس (XRD)، میکروسکوپ الکترونی روبشی (SEM) و بیناب‌سنجدی تبدیل فوریه فروسرخ (FT-IR) مورد بررسی قرار گرفت. تحلیل الگوهای XRD نشان می‌دهد که بالاترین مقدار جانشانی سریوم در ساختار گارنتی نمونه‌ی $x = 0.6$ است. مغناطیش اشباعی نمونه‌ها در دمای اتاق نیز با مغناطیس‌سنجد ارتعاشی (VSM) اندازه‌گیری شد. این اندازه‌گیری نشان می‌دهد که با افزایش جانشانی، مغناطیش اشباعی تا $x = 0.3$ افزایش یافته و سپس کاهش می‌یابد. تغییرات مغناطیش اشباعی بر اساس بیناب‌سنجدی موسبائر نمونه‌ها بحث شده است. بررسی بیناب‌های موسبائر نشان داد که به‌دلیل جانشانی سریوم به جای ایتریوم در گارنت YIG زیرشبکه‌های هشت و چهاروججه هریک به دو زیرشبکه‌ی هشت و چهاروججه آشفته و نآشفته تبدیل می‌شوند، و براین اساس کاهش مغناطیش برای $x > 0.3$ توجیه شده است.

واژه‌های کلیدی: گارنت ایتریوم آهن؛ سل-ژل؛ سریوم؛ بیناب موسبائر.

یکای فرمولی $\text{R}_3\text{Fe}_5\text{O}_{12}$ است که به‌شکل $[\text{Fe}_2]\text{O}_{12}\text{R}_3$ و $[\text{Fe}_3]\text{O}_{12}\text{R}_3$ نوشته می‌شود. توزیع کاتیونی یون‌های مغناطیسی آهن در جایگاه‌های (d) و [a]، مهم‌ترین نقش را در ویژگی‌های مغناطیسی گارنت بر عهده دارد، با این حال جانشانی یون‌های مختلف در جایگاه دوازده‌وججهی {c} نیز می‌تواند برهم‌کنش‌های تبادلی را به‌طور فزاینده‌ای تحت تاثیر قرار دهد و ویژگی‌های مغناطیسی جالبی را عرضه نماید. عنصر سریوم به علت داشتن بالاترین میزان چرخش فارادی در ناحیه‌ی دیدگانی و اتلاف کم در میان عناصر دیگر، نامزد خوبی برای ساخت ابزارهای موج

مقدمه

گارنت ایتریوم آهن (YIG)، وابسته به گروه اکسیدهای مغناطیسی، به علت داشتن مغناطیش اشباعی نسبتاً بالا، ضریب دی الکتریک مناسب و اتلاف‌های دی الکتریکی و مغناطیسی کم به ویژه در بسامدهای بالا کاربردهای فراوانی دارد [۱]. توزیع کاتیونی نسبتاً پیچیده در شبکه‌ی بلورین این گارنت، به ساختار مکعبی مرکز حجمی (bcc) و گروه فضایی (O_h^{10})، شامل سه زیرشبکه‌ی بلوری چهار، هشت و دوازده‌وججه وابسته است [۳،۲]. هر یاخته‌ی مغناطیسی آن شامل هشت

* نویسنده مسئول، تلفن: ۰۶۱۱ ۴۴۳۵۲۸۸، نما بر: ۰۶۱۱ ۴۵۷۱۷۴، پست الکترونیکی: Md.niyaifar@gmail.com

نیز با مغناطیس‌سنج نوسانی (VSM) مدل INCH ۱۴ در گستره‌ی ۴۰۰۰- تا ۴۰۰۰ به دست آمد.

بحث و بررسی

شکل ۱ الگوی‌های پراش پرتو ایکس ذرات گارنت $\text{Y}_{3-x}\text{Ce}_x\text{Fe}_5\text{O}_{12}$ پخته‌شده در دمای 700°C را نشان می‌دهد. این دما نسبت به دمای تکفارشدن در روش متداول سرامیکی به‌گونه‌ای چشمگیر پایین‌تر است [۹]. در تمام نمونه‌ها ساختار گارنت مکعبی دیده می‌شود [۲۷-۱۰۲]. JCPDS Card No:۸۳-۱۰۲۷ در نمونه‌ی $x = 0.8$ افزون بر فاز گارنت، فازهای ناخالصی CeO_2 (JCPDS Card No: ۳۹-۱۳۴۶) و Fe_2O_3 (JCPDS Card No: ۳۴-۰۳۹۴) نیز دیده می‌شود.

تغییرات ثابت شبکه با افزایش مقدار جانشانی در شکل ۲ نشان می‌دهد که با افزایش سریوم تا $x = 0.6$ ثابت شبکه افزایش می‌یابد، ولی برای $x = 0.7$ ثابت شبکه کاهش می‌یابد. اگرچه الگوی‌های پراش پرتو ایکس وابسته به این نمونه‌ها (در گستره‌ی دقت دستگاه XRD) تنها فاز گارنت را نشان می‌دهد، ولی احتمال وجود مقدار کمی از ناخالصی در نمونه‌ی $x = 0.7$ حدس زده می‌شود که با پراش‌سنج پرتو ایکس قابل شناسایی نیست و این باعث کاهش ثابت شبکه شده است. در روش متداول سرامیکی بالاترین میزان جانشانی در نمونه‌ی $x = 0.3$ است [۹]. حال آن‌که نتایج این پژوهش $x = 0.6$ را بالاترین مقدار جانشانی سریوم از روش سل-ژل نشان می‌دهد. چگالی نظری نانوذرات ρ از رابطهٔ

$$\rho = \frac{ZW_m}{N_A a^3} \quad (1)$$

محاسبه شد که در این رابطه Z تعداد فرمول در هر یاخته‌ی واحد گارنت، W_m وزن فرمولی، N_A عدد آوگادروو و a ثابت شبکه‌ی گارنت است. محاسبات افزایش چگالی از جرم اتمی بالاتر سریوم ($140/12\text{gr}$) نسبت به ایترویوم ($88/9\text{gr}$) را نشان می‌دهد.

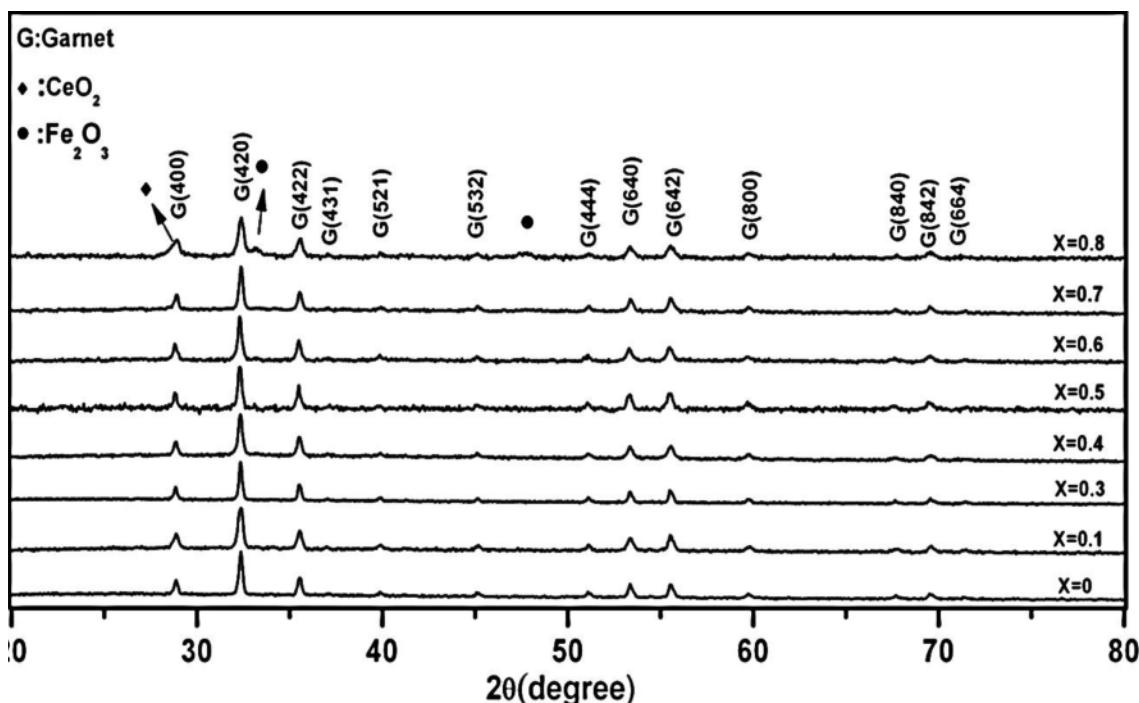
بری ناوارون، پیکربندی‌های انباشتی اپتیکی، حسگرهای جریان الکتریکی و... است [۵،۶]. با پیشرفت روش‌های ساخت نانوذرات در سال‌های اخیر، گزارش‌هایی از ساخت این ماده با روش‌های گوناگون شیمیایی داده شده که از آن جمله می‌توان به روش سل-ژل اصلاح شده [۶]، همرسوی [۷] و سل-ژل معمولی [۸] اشاره کرد. این پژوهش‌ها بیانگر نتایج متفاوتی از بیشینه مقدار جانشانی سریوم در ساختار گارنتی است. در این پژوهش روش سل-ژل به دلیل دمای پایین لازم برای سنتز، آلایندگی کمتر در محصول نهایی و توزیع مناسب در اندازه‌ی ذرات انتخاب شده است. همچنین اثر افزایش سریوم بر $\text{Y}_{3-x}\text{Ce}_x\text{Fe}_5\text{O}_{12}$ ویژگی‌های ساختاری و مغناطیسی نانوذرات با $x = 0.8$ و 0.7 ، 0.6 ، 0.5 ، 0.4 ، 0.3 ، 0.2 ، 0.1 ، 0.0 با
نمونه‌ی کپهای مقایسه شدند.

روش بررسی

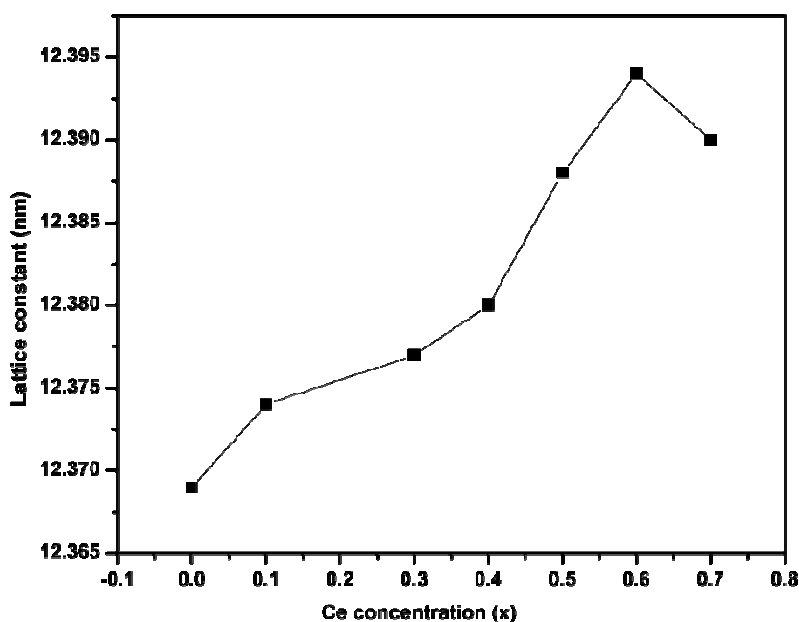
مواد اولیه‌ی به کار رفته در تهییهٔ نانوذرات، شامل نیترات‌های آهن $\text{Fe}(\text{NO}_3)_3 \cdot 9\text{H}_2\text{O}$ ایترویوم $\text{Y}(\text{NO}_3)_3 \cdot 6\text{H}_2\text{O}$ و سریوم $\text{Ce}(\text{NO}_3)_3 \cdot 6\text{H}_2\text{O}$ بودند که همه‌ی آنها از شرکت مرک آلمان با کمینهٔ خلوص ۹۹ درصد تهییه شدند. با در نظر گرفتن مقدار بهینه‌ی $\text{C}/\text{N} = 3$ (نسبت اسید سیتریک به یون نیترات) مواد اولیه و اسیدسیتریک را با نسبت‌های استوکیومتری مناسب در 100 ml آب مقطّر حل کردیم و برای دستیابی به $\text{pH} = 2$ محلول آمونیاک را افزودیم. سل آماده شده در دمای 90°C به مدت ۲ ساعت به ژل غلیظی تبدیل شد. ژل به دست آمده به مدت ۴۸ ساعت در دمای 115°C گرمایش شد تا خشک شود و پس از ساییده شدن، در کوره با آهنگ $5^\circ\text{C}/\text{min}$ به مدت ۳ ساعت در دمای 200°C گرمایش شد. ساختار بلوری و فاز تشکیل نانوبودرهای به دست آمده با پراش‌سنج پرتو ایکس با لامپ مس (XRD-SIEFRET ID3003)، اندازه‌ی ذرات با میکروسکوپ الکترونی (SEM) مدل (Philip's XL30) و پیوندهای شیمیایی نانوذرات نیز با دستگاه FT-IR (Perkin Elmer BX II) در گستره‌ی عدد موج $400-4000\text{ cm}^{-1}$ مورد بررسی قرار گرفت. منحنی پسماند مغناطیسی نمونه‌های تکفار-

نمی‌بینیم. تصاویر (شکل ۳) نشان‌دهندهٔ نانوذراتی با شکل کروی، همگن و بهم‌چسبیده با اندازهٔ ۵۰–۷۰ نانومتر است. این بهم‌چسبیدگی زیاد، ناشی از انرژی سطحی بالا در نانوذرات است [۱۰].

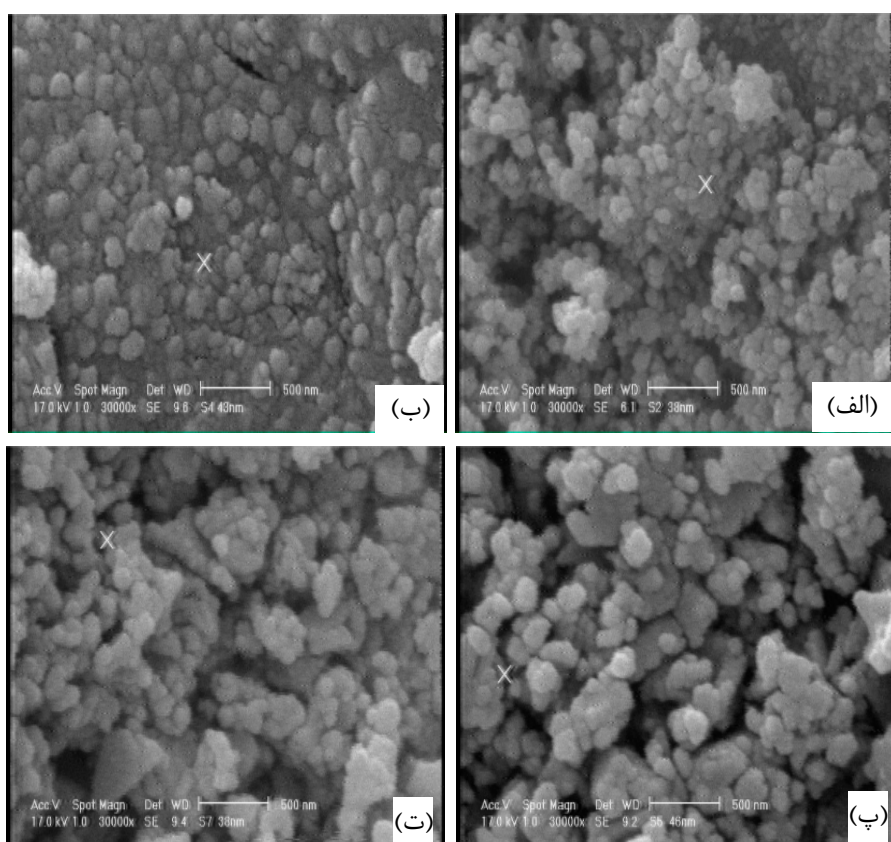
تغییرات میانگین اندازهٔ بلورک‌ها با رابطهٔ شرر در گستره‌ی ۳۰ تا ۴۶ نانومتر تعیین شد. از آنجا که دما اصلی‌ترین فاکتور برای افزایش اندازهٔ بلورک‌هاست، در دمای پخت یکسان (700°C) تغییرات زیادی در اندازهٔ بلورک‌ها



شکل ۱ الگوی‌های پراش پرتوهای ایکس نانوذرات Y_{3-x}Ce_xFe₅O₁₂ با x‌های گوناگون.



شکل ۲ تغییرات ثابت شبکه بر حسب مقدار جانشانی سریوم.



شکل ۳ تصاویر میکروسکوپ الکترونی روبشی نانوذرات برای $x = 0.1$ (الف)، $x = 0.3$ (ب)، $x = 0.5$ (پ)، $x = 0.7$ (ت).

یونی Ce^{3+} (1.81\AA) و Y^{3+} (1.06\AA) [۹]، جانشانی سریوم در ساختار گارنت باعث آشفتگی در ساختار بلورین می‌شود. تغییرات طول و زاویه پیوندهای Fe-O نشانه‌ی این آشفتگی است. با توجه به‌شکل جایه‌جایی پهنه‌ها به سوی اعداد موج کوچکتر، از $597/58$ به $594/14 \text{ cm}^{-1}$ ، افزایش طول پیوند-Fe-O را نشان می‌دهد. از سوی دیگر شدت پیوندهای Fe-O با افزایش جانشانی کاهش یافته و در نتیجه می‌توان حدس زد برهمنش‌های ابرتبدالی Fe-O-Fe نیز کاهش می‌یابد [۱۴، ۱۳].

شکل‌های ۵ و ۶ به ترتیب منحنی‌های پسماند مغناطیسی و تغییرات مغناطش اشباعی نانوذرات بر حسب x را نشان می‌دهد. با توجه به شکل، مغناطش اشباعی تا $x = 0.3$ افزایش و سپس کاهش می‌یابد. این افزایش به نظریه نیل نسبت داده می‌شود. بر پایه‌ی این نظریه در یک ساختار YIG، مغناطش پونه‌ای آهن در زیرشبکه‌های a و d به‌گونه‌ی پادفرو-مغناطیسی نظم می‌گیرند. بنابراین گشتاور مغناطیسی کل هر یکای فرمولی گارنت ایتریوم آهن برابر:

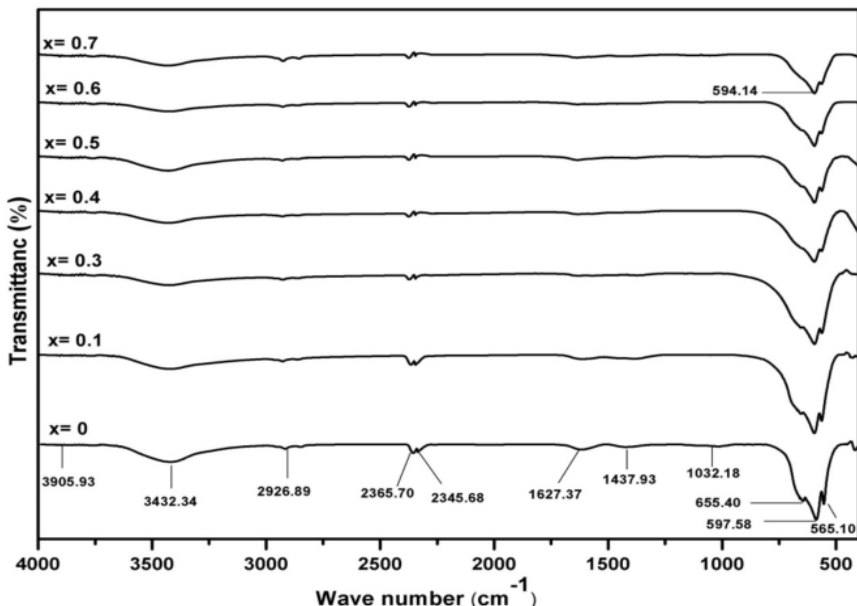
شکل ۴ بیناب‌های تبدیل فوریه‌ی فروسرخ نانوذرات را نشان می‌دهد. گارنت‌ها در گروه فضایی Ia3d اند و بیناب IR آن‌ها باید ۱۷ مد تبهگن سه‌گانه T_{1u} را نشان دهد که تنها برخی از آن‌ها را در ناحیه‌ی مورد بررسی (4000 cm^{-1} - 400 cm^{-1}) می‌شود دید [۱۱]. چنانکه در شکل دیده می‌شود پهنه‌ای در عدد موج 3432 cm^{-1} موجود است که نشانگر وجود پیوند O-H است که به جذب آب از محیط هنگام نمونه‌برداری وابسته است. پهنه‌هایی در گستره‌ی اعداد موج 2345 و 2927 cm^{-1} را می‌توان به ترتیب به CO_2 و گروه‌های پیوندی C-H نسبت داد [۱۲]. تجزیه‌ی ترکیبات اسیدسیتریک و نیترات‌ها منجر به تشکیل گروه‌های $\text{O}=\text{N}-$ می‌شود که به قله‌هایی در گستره‌ی اعداد موج 1617 و 1382 cm^{-1} با شدت کم وابسته است [۲]. پهنه‌هایی واقع در گستره‌ی 595 و 563 cm^{-1} ، وابسته به مدرتعاشی 74 را نیز می‌توان به نوسان‌های گروه اکسیدهای فلزی به ویژه به گروه‌های پیوندی Fe-O در زیرشبکه‌ی چهاروجهی نسبت داد. در واقع این سه پهنه سرشتی ساختاری گارنت‌ها هستند [۱۱]. با توجه به اختلاف بزرگ شعاع‌های

در جایگاه C موادی با گشتاور برآیند یون‌های آهن قرار می‌گیرد. بنابراین بر پایه‌ی رابطه‌ی زیر انتظار داریم معناطش کل ساختار با افزایش مقادیر جانشانی افزایش یابد:

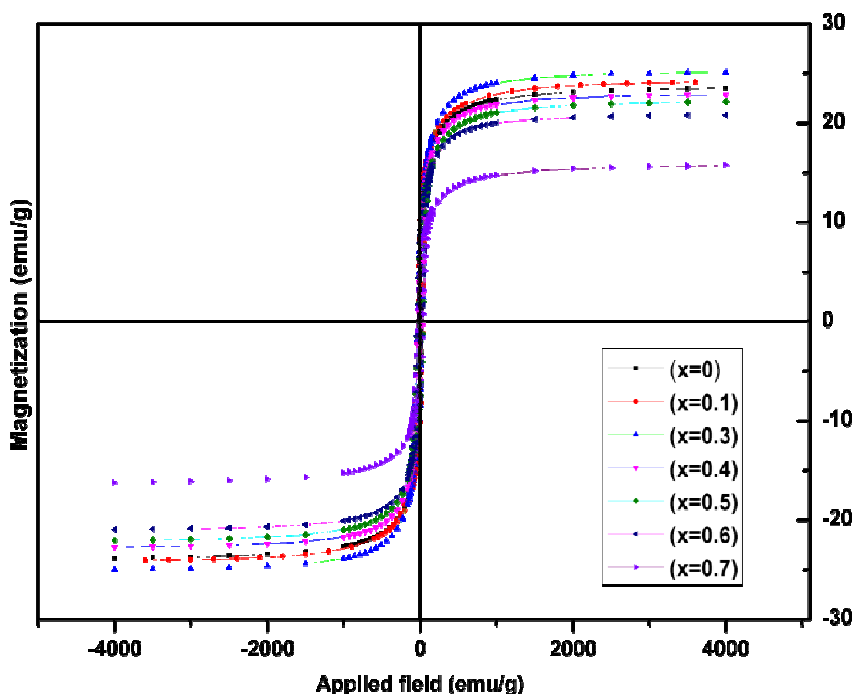
$$\begin{aligned} M &= |xM_c + M_d - M_a| = |xM_c + 3M_{Fe}^{3+} - 2M_{Fe}^{3+}| \\ &= 5\mu_B + xM_c (M_c \neq 0) \end{aligned} \quad (3)$$

$$\begin{aligned} M &= |M_d - M_a| - M_c = |3M_{Fe}^{3+} - 2M_{Fe}^{3+}| \\ &= 5\mu_B (M_c = 0) \end{aligned} \quad (2)$$

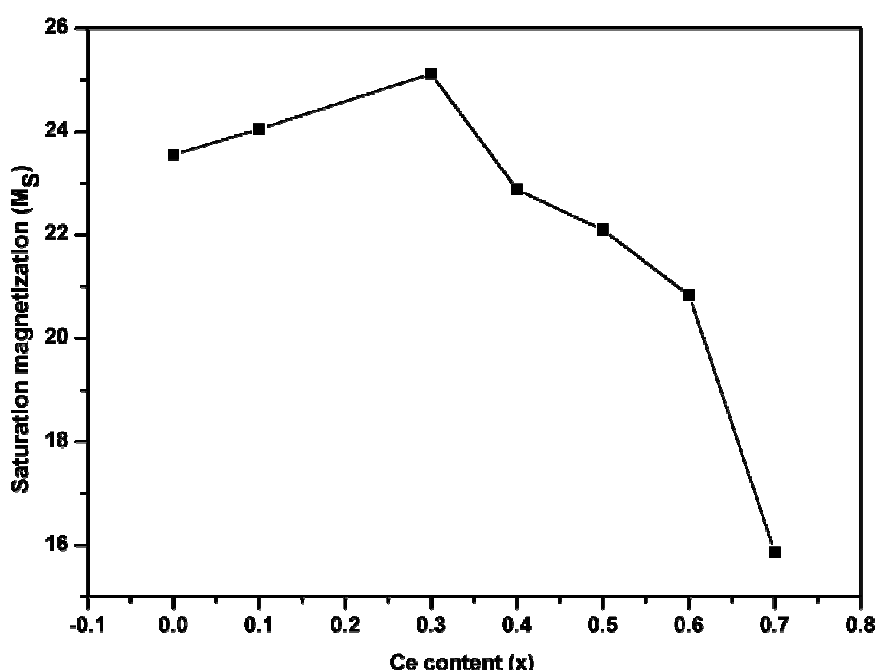
است. یون پارامغناطیس Ce^{3+} با گشتاور مغناطیسی $\mu_S = 2/14 \mu_B$ [۱۵]، جایگزین یون دیامغناطیسی Y^{3+} در جایگاه دوازده‌وجهی می‌شود. از سوی دیگر گشتاور مغناطیسی



شکل ۴. بیناب‌های تبدیل فوریه‌ی فروسرخ نانوذرات $Y_{3-x}Ce_xFe_5O_{12}$.



شکل ۵. منحنی‌های پسماند مغناطیسی نانوذرات $Y_{3-x}Ce_xFe_5O_{12}$ با x ‌های گوناگون.



شکل ۶ تغییرات مغناطش اشباعی نانوذرات با افزایش مقادیر سریوم.

افزایش جانشانی سریوم جابجایی ایزومری^۴ (IS) زیرشبکه‌های a_1 و a_2 ، و نیز d_1 و d_2 کاهش می‌یابد. این رفتار به افزایش چگالی الکترونی S یون‌های Fe^{3+} برآمده از افزایش اثر شیلیدینگ^۵ نسبت داده می‌شود [۱۶]. جدول ۱ نشان می‌دهد که با افزایش جانشانی Ce^{3+} به جای Y^{3+} مقادیر شکافتگی چهارقطبی (QS) a_1 و a_2 ، و نیز d_1 و d_2 دارای علامت‌های مختلف است. یعنی شکافتگی چهارقطبی a_1 و d_1 مثبت و a_2 و d_2 منفی است. این اختلاف علامت بدین مفهوم است که جانشانی یون سریوم می‌تواند تغییراتی در توزیع بارهای الکترونی هسته‌های آهن ایجاد کند. هنگامی که بار الکترونی هسته کشیده باشد QS مثبت و هنگامی که بار الکترونی تخت و فشرده باشد QS منفی است. لطیفه^۶ و همکاران [۱۷] نشان دادند که تقارن جایگاه آهن در گارنت La-YIG نسبت به گارنت خالص YIG دستخوش آشفتگی شده و این دو نوع مختلف از محیط‌های شیمیایی اطراف یون آهن در جایگاه‌های a و d بوجود آورده است. بدین ترتیب و با بهره‌گیری از این نتایج می‌توان تغییر ویژگی‌های مغناطیسی گارنت پس از جانشانی سریوم را توجیه کرد. بنابراین نظریه، زیرشبکه‌های a و d به‌شکل دو زیرشبکه‌ی a_1 و d_1 نا آشفته و نیز زیرشبکه‌های

از سوی دیگر بررسی دقیق‌تر کاهش مغناطش برای $x > 0.3$ بر پایه‌ی بیناب‌سنجی موسبائر نمونه‌های Ce-YIG انجام شد. شکل ۷ نمودار به‌دست آمده از بیناب موسبائر نمونه‌های $0.4 \leq x \leq 0.7$ را نشان می‌دهد که نقاط در آن داده‌های تجربی و منحنی پیوسته، با کمینه‌ی انحراف^۱ این نقاط همخوانی دارد. بیناب موسبائر برای نمونه‌های YIG ($x = 0$) دو شش‌تایی زیمان^۲ با برهمنش‌های ابر ریز مغناطیسی ۴۸۵ و ۳۹۰ به‌ترتیب برای جایگاه‌های هشت و چهاروجهی را نشان می‌دهد. با افزایش جانشانی سریوم تحلیل بیناب‌های موسبائر نشان می‌دهد که بهترین همخوانی با چهار شش‌تایی و با شکافتگی‌های چهارقطبی (QS)^۳ متفاوت صورت می‌گیرد. جانشانی سریوم با شعاع یونی بزرگتر نسبت به ایتریوم در جایگاه دوازده‌وجهی باعث آشفتگی در زیر شبکه‌های a و d می‌شود. بدین ترتیب نمونه‌های جانشانی شده با سریوم دارای دو جفت زیرشبکه‌ی چهار و هشت‌وجهی ناآشفته، و چهار و هشت‌وجهی آشفته خواهند بود. به عبارت دیگر جایگاه‌های چهار و هشت‌وجهی در همسایگی یون Y^{3+} را ناآشفته و جایگاه‌های چهار و هشت‌وجهی در همسایگی یون Ce^{3+} را آشفته در نظر می‌گیریم. از سوی دیگر، نتایج بررسی‌ها نشان می‌دهند که با

4- Isomer Shift

5- Shielding Effect

6- Lataifeh

1- Least squares fitting

2- Sextet Zeeman

3- Quadrupole Splittings

$$M = |xM_c| + |M_1 + M_2| \quad (4)$$

بنابراین با افزایش Ce^{3+} آشفته‌گی زیرشبکه‌های a_2 و d_2 افزایش و زاویه‌ی بین بردارهای M_1 و M_2 (در جهت کاهش مغناطش کل) تغییر می‌کند. به علاوه کاهش بیشتر مقادیر مغناطش در نمونه‌ی $x = 0.7$ نسبت به نمونه‌های پیشین را می‌توان به وجود فاز نامغناطیسی CeO_2 نسبت داد.

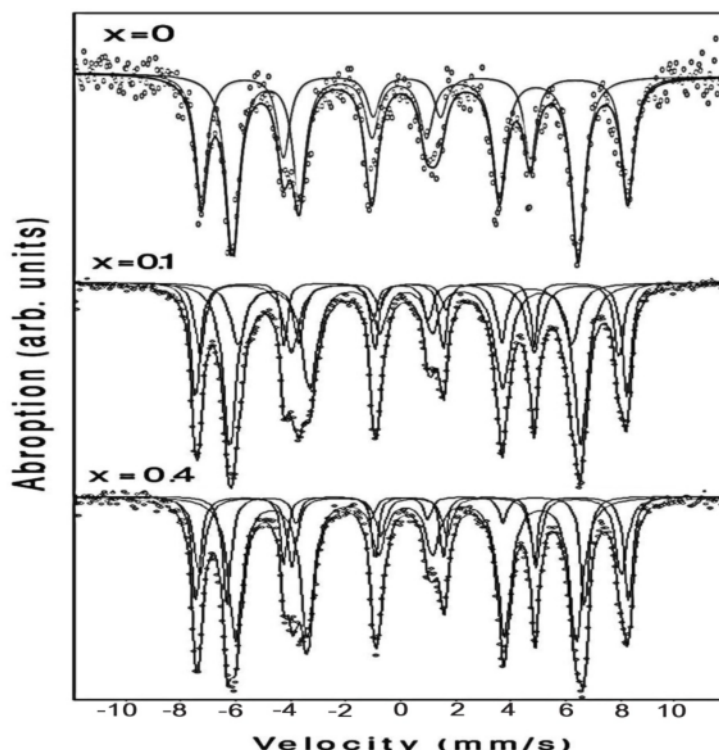
کرد:

a_2 و d_2 آشفته در نظر گرفته شدن. هر جفت زیرشبکه‌ی $(a_1$ و d_1) و $(a_2$ و d_2) دارای گشتاورهای مغناطیسی با نظم پادفرو芒ناطیسی هستند. در این حالت گشتاور موثر مغناطیسی ایجاد شده با زیرشبکه‌های آشفته و ناآشفته به ترتیب با رابطه‌ی (۴) و (۵) بیان می‌شود:

$$M_1 = |M_{d_1} - M_{a_1}| \quad (4)$$

$$M_2 = |M_{d_2} - M_{a_2}| \quad (5)$$

در نتیجه می‌توان بردار مغناطش کل را با رابطه‌ی (۶) بیان



شکل ۷ بیناب‌های موسبائی نمونه‌های $x = 0.4$ و $x = 0.1$

جدول ۱ نتایج تحلیل بیناب‌های موسبائی.

sample	Site	IS(mm/s)	QS(mm/s)	Heff(T)
YIG	a	-0.26	-0.05	485
	d	-0.1	-0.10	390
$Y_{2.9}Ce_{0.1}Fe_5O_{12}$	a1	-0.191	-0.054	37.614
	d1	-0.400	-0.115	47.280
	a2	-0.093	-0.182	39.568
	d2	-0.361	-0.077	48.677
$Y_{2.6}Ce_{0.4}Fe_5O_{12}$	a1	-0.174	-0.10	28.548
	d1	-0.408	-0.119	47.699
	a2	-0.056	-0.225	40.465
	d2	-0.351	-0.105	48.942

- [7] Fengbing S., Qiang L., "Valence control of Ce ions in Ce-YIG", Journal of Wuhan University of Technology-Mater. Sci.Ed (2005) 1-4.
- [8] Xo H., Yung H., "Effect of chromium on magnetic properties of $Y_{2.9}Ce_{0.1}Fe_{5-x}Cr_xO_{12}$ Nanoparticles", Journal of Material and Processes 23 (2008) 10-13.
- [9] Mao T., Chen J. C., "Influence of the addition of CeO_2 on the microstructure and the magnetic properties of yttrium iron garnet ceramic", Journal of Magnetism and Magnetic Materials 302 (2006) 74-81.
- [10] Shaibob R., Baa'yah Ibrahim N., Abdullah M., Abdulhade F., "The physical properties of Eb-YIG film prepared by a sol-gel method", Journal of Nanomaterials 2012 (2011) 1-5.
- [11] Ristic M., Nowik I., Popovic S., Felner I., Music S., "Influence of synthesis procedure on the YIG formation", Journal of Materials Letters 57 (2003) 2584-2590.
- [12] Lampman G.M., Pavia D.L., Kriz G.S., "Introduction to spectroscopy: A guide for students of organic chemistry", Harcourt Brace College Publishers (1996) 110-115.
- [13] Xu H., Yang H., "Magnetic Properties of $Y_3Fe_5O_{12}$ Nanoparticles Doped Bi and Ce Ions", Journal of Materials and Manufacturing Processes 23 (2008) 1-4.
- [14] Berchmans L. J., Devi M. P. I., Amalajyothi K., "Novel Combustion Synthesis of La^{3+} Substituted $MnFe_2O_4$ ", International Journal of Self-Propagating High-Temperature Synthesis 18 (2008) 11-14.
- [15] Muranaka T., Akimitsu J., "Thermodynamic properties of ferromagnetic Ce-compound, $CeAgAl_3$ ", Journal of Physica C 462 (2007) 688-690.
- [16] Lee Y.B, Chae K.P, Lee S.H., "Mössbauer study of substituted YIG, Y-Gd-Fe-In-O system", Journal of Physics and Chemistry of Solids 62 (2001) 1335-1340.
- [17] Lataifeh M.S., Mahmood S., Thomas MF., "Mossbauer spectroscopy study of substituted rare earth iron garnets at low temperature", Journal of Physica B 321 (2002) 143-148.

برداشت

نانوذرات گارنت ایتریوم آهن جانشانی شده با سریوم به روش سل-ژل تهیه شد و ویژگی‌های ساختاری و مغناطیسی آنها مورد بررسی قرار گرفتند. بررسی ویژگی مغناطیسی نمونه‌ها نشان داد که مغناطش اشباع نمونه‌ها با جانشانی سریوم تا $x = 0.3$ افزایش و سپس کاهش می‌یابد. با بررسی بیناب‌های موسیائر نمونه‌ها مشخص شد که زیرشبکه‌های a و d به دلیل جانشانی به دو جفت زیرشبکه‌ی a_1 و d_1 ناشفته و a_2 و d_2 آشفته تبدیل می‌شوند و بدین ترتیب رفتار کاهشی مغناطش برای $x > 0.3$ با درنظر گرفتن برآیند برداری گشتاور مغناطیسی دو جفت زیرشبکه‌ی a و d توجیه شد.

قدردانی

از مسئولین آزمایشگاه نانومواد مغناطیسی سپاسگزاری می‌شود.

مراجع

- [1] Sztaniszlav A., Farkas-Jahnke M., Balla M., "Kinetics of Garnet Formation in In^{3+} -Substituted Systems", Journal of Magnetism and Magnetic Materials 215 (2000) 188-193.
- [2] یار محمد سطّری. م، مظفری. م، عمیقیان. ج، "نهیه نانوذرات گارنت ایتریوم آهن (YIG) به روش سل-ژل و بررسی ویژگی‌های مغناطیسی آن"، مجله بلوشناسی و کانی شناسی ایران، شماره ۲ (۱۳۸۷) ص ۲۸۶-۲۸۱.
- [3] Morrish A.H., "The physical principles of magnetism", John Wiley & Sons (1965) 511-516.
- [4] Niyaifar M., Beitollahi A., Shiri N., Mozaffari M., Amighian J., "Effect of indium addition on the structure and magnetic properties of YIG", Journal of Magnetism and Magnetic Materials 322 (2010) 777-779.
- [5] Xu Y., Yang J.H., Zhang X. J., "Quantum Theory of the magneto-optical effect of Ce-substituted yttrium iron garnet", Journal of Physical Review B 50 (1994).
- [6] Kum J. S., Kim J. S., Shim I. B., Kim Ch. S., "Mössbauer Studies and Magnetic Properties of Ce-YIG", Journal of Hyperfine Interaction 156/157(2004) 164-174.